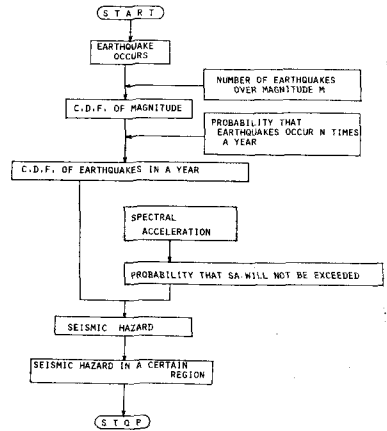
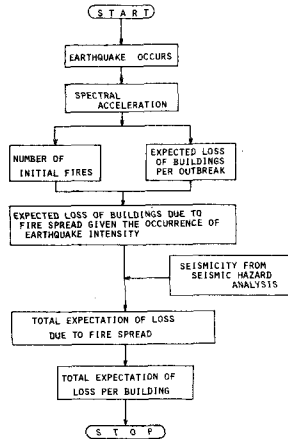


土地利用計画情報としての地震時火災危険度に関する研究

京都大学工学部 正会員 黒田 晴彦
京都大学工学部 正会員 長尾 義三
京都大学大学院 学生員 〇井出 仁雄

1. はじめに 日本をはじめとする地震国において、個々の構造物の耐震性を考えることはもちろんだこと、その集合としての都市、地域への耐震防災を考えることも、土木技術者の重要な役割である。しかし、木造建築物の占める割合が大きい、特に都市部では、それらが密集して建っているため、火災が、地震災害の大半を占めることになり、明らかである。そこで、本研究では、地震災害の中、特に火災に焦点を当て、考え、そして、地震時火災危険度の算出方法について考察するとともに、土地利用計画への一つの情報として、地震時火災危険度と建物占有率、断路占有率、木造率および地震条件との関係を明らかにした。

2. モデルの概要 本研究では、地震時火災危険度を、
“1軒の建物に、1年間に、地震時火災によって焼失した確率期待値”と定義し、図1、図2のフローチャートによって求められると考えた。また、モデルの中、個々の関係については、焼失軒数式を除いて、従来の式を用いて計算した。



3. 地震の規模と生起分布——地震の規模の分布については、*Gutenberg-Richter relation* を用い、生起分布については、ポアソン分布を仮定した。

4. 加速度応答スペクトルの分布——加速度応答スペクトルについては、従来の、岩崎の研究や *Tsifanos* の研究が行われているが、ここでは、*Tsifanos* の式を用いた。

5. 地震時の火災件数——地震時の火災件数に予測に関する研究は、建物の全壊率を指標として考えられているものが多い。そこで、本研究では、*Scawthorn C.* の、管域集約地震を中心に求めた、加速度応答スペクトルと全壊率の関係を示す式を用いて、全壊率を明らかにした。水野、塚田のモデルによって、地震時の火災件数を予測した。

6. 地震時の焼失軒数——故田の式を基本としたが、土地利用計画への適用を考えた、木造率、建物占有率、断路占有率を入力因子として用いることにより、より適用可能にした。また、式の中の風速および消火に要する時間については、*Scawthorn C.* の、大阪市のデータ

KATSUHIKO KURODA, YOSHIMI NAGAO, YOSHIO IDE

ら求めた式を用いて、これらの期待値を計算し、応答関数式に代入した。すなわち、応答関数式について、次節で詳しく述べる。

3. 応答関数式 対象とした地域は、正方形のメッシュに分割し、そのメッシュの面積は $A (m^2)$ 、全震動軒数は N 、平均震動幅は $a (m)$ 、平均断路幅は $d (m)$ とし、震動占有率 x 、断路占有率 y を、次式のよう定義した。

$$x = Na^2/A \quad (1) \quad y = (2ad + d^2)N/A \quad (2)$$

これらの式より a, d を求め、式(1)の式に代入すると、次の応答関数式が得られる。

$$FL/FO = \frac{1.5\delta}{x} \left[\frac{x_p}{T_s} \sqrt{x+y} - \frac{1}{2} \sqrt{x} \right] \left[\frac{x_p}{T_u} \sqrt{x+y} + \frac{x_p}{T_d} \sqrt{x+y} - \frac{1}{2} \sqrt{x} \right] \quad (3)$$

ただし FL/FO : 1 件の土壁に対する応答関数, x_p : 土壁の経過時間 (min)
 T_s, T_u, T_d : それぞれ風下側, 風上側, 風横側の隣家へ応答する時間 (min)
 δ : 木造率, V_w : 風速 (m/sec)

$$T_s = \frac{1}{3.2} \left\{ 1.5 + \sqrt{\frac{A}{N}} (0.625\sqrt{x} + \frac{16\sqrt{x+y} - 16\sqrt{x}}{5 + 0.5V_w}) \right\} \frac{1}{1 + 0.1V_w + 0.007V_w^2} + \left\{ 3 + \sqrt{\frac{A}{N}} (0.375\sqrt{x} + \frac{8\sqrt{x+y} - 8\sqrt{x}}{5 + 0.5V_w}) \right\} \frac{1}{1 + 0.1V_w} \quad (4.1)$$

$$T_u = \frac{1}{3.2} \left\{ 1.5 + \sqrt{\frac{A}{N}} (0.625\sqrt{x} + \frac{16\sqrt{x+y} - 16\sqrt{x}}{5 + 0.2V_w}) \right\} \frac{1}{1 + 0.1V_w + 0.002V_w^2} + \left\{ 3 + \sqrt{\frac{A}{N}} (0.375\sqrt{x} + \frac{8\sqrt{x+y} - 8\sqrt{x}}{5 + 0.2V_w}) \right\} \frac{1}{1 + 0.002V_w} \quad (4.2)$$

$$T_d = \frac{1}{3.2} \left\{ 1.5 + \sqrt{\frac{A}{N}} (0.625\sqrt{x} + \frac{16\sqrt{x+y} - 16\sqrt{x}}{5 + 0.25V_w}) \right\} \frac{1}{1 + 0.1V_w + 0.005V_w^2} + \left\{ 3 + \sqrt{\frac{A}{N}} (0.375\sqrt{x} + \frac{8\sqrt{x+y} - 8\sqrt{x}}{5 + 0.25V_w}) \right\} \frac{1}{1 + 0.005V_w} \quad (4.3)$$

4. 数値計算結果 数値計算の結果を図3, 図4, 図5に示す。

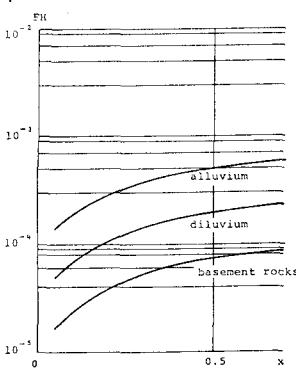


図3 Relation of FH to x

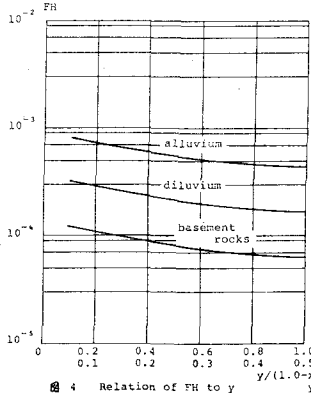


図4 Relation of FH to y

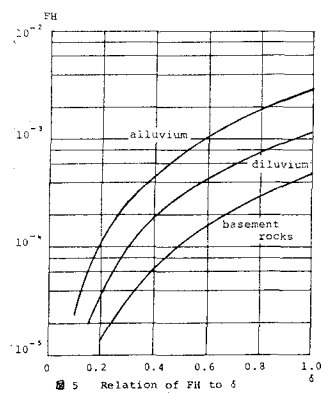


図5 Relation of FH to delta

すなわち、詳しく説明し、譲渡時に付す。

参考文献

- 1) 工本学会関西支部: 地震揺動度・地震動下5K津波、都市の耐震防災、昭和55年度講習会付録、昭55.6
- 2) Trifunac N.D. and Anderson J.G. (1977): Preliminary Empirical Models for scaling absolute spectra, U. Calif., Rept. CE-77-03
- 3) Sawallan C., "Urban seismic Risk: Analysis and Mitigation", January, 1981
- 4) 水野弘元, 森内三郎: 地震時の土壁と柱脚の損傷の調査について, 昭55年度学会論文報告集, 247号, 昭55.9
- 5) 水野弘元, 森内三郎: 地震時の土壁軒数の予測に関する研究, 昭55年度学会論文報告集, 250号, 昭55.12
- 6) 防災ハンドブック編集委員会編: 防災ハンドブック, 技報堂, p.719~p.748, 昭39.12